

III-374 脆性材料における電裂進展過程の解析

○東京電力 正員 原田光男
 東北大学 正員 佐武正雄
 東北大学 正員 折関 茂

1) はじめに

岩石やコンクリートのように圧縮強度に比較し、引張強度の小さい脆性材料の破壊は、一般に：微小電裂の発生・進展により破壊の生じるものと考へられ、金属とはかなり異なる破壊形態を示すことが多い。本文は脆性材料の最も基本的な破壊の問題と考へられる単一材料の内部欠陥から発生する電裂の進展を解析し、特に電裂経路及び電裂進展率と荷重との対応について着目し、実験及び数値解析の両面より比較考察するものがある。著者らは、有限要素法・パラメトリックモデルの複雑な形状・境界条件を表現するのに適しているという特性を考慮し、要素境界による電裂を表現し、その発生進展の数値解析を行った。また、解析に用いた有限要素法・解析結果Gcは、物体内部の破壊現象や塑性変形への対応が注目されているアコースティック・エミッション(AE)を用いて求めた。

2) A・Eによる電裂進展の解析

実験は、図1に示す寸法中央に円孔を有するモルタル供試体(12本)について実施した。供試体の作成には、1)と2)とを55%、70-値180±5のモルタルを用い、供試体の材料定数は表1に示すもの。実験は、単軸圧縮試験を実施し、荷重段階の電裂先端の位置を測微鏡により正確に読み取り、同時にA・Eエナジー計数総数及びA・E発生源位置検定の計測を行った。電裂は荷重の増加に伴い、供試体中央の円孔上下端面より発生し、鉛直線上に上下対称に進展していく。

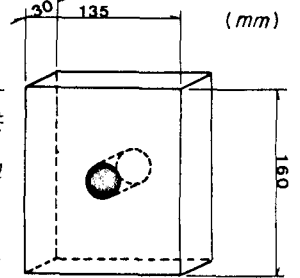


図1 供試体
 表1 供試体の材料定数

ヤング率	kg/cm ²	1.60 × 10 ⁶
ポアソン比	—	0.176
せん断定数	kg/cm ²	6.80 × 10 ⁴
縦波波速	m/sec	2.79 × 10 ³
横波波速	m/sec	1.80 × 10 ³

この電裂の進展率と荷重との関係を図7に示す。計測されたA・Eエナジー計数総数と電裂進展率との関係は、図2に示すものようにほぼ直線に近似される。この直線に傾きの電裂が単位面積あたり進展すると、この解析に用いた有限要素法・解析結果Gcに相当するものと考へられる。図3のA・E発生源位置検定の結果から電裂の進展に伴い発生するA・Eは、電裂の先端のみならず、電裂の形成した後にその周辺から発生する傾向が認められる。

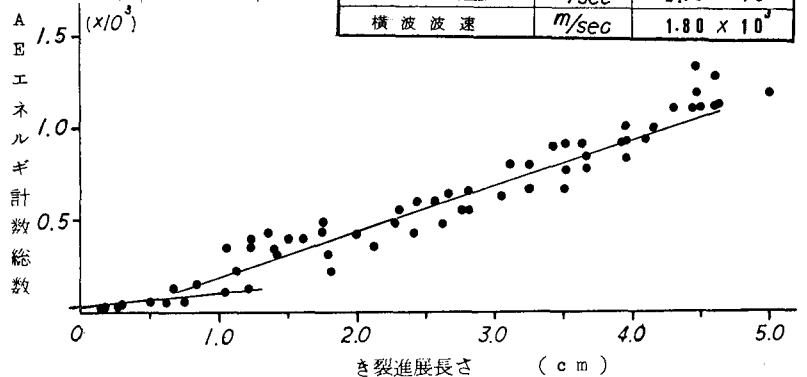


図2 A・Eエネルギー計数総数とき裂進展長さとの関係

このため、正しい有限要素法・解析結果Gcを求めると、図2の極初期の直線の傾きを使用する必要がある。今、AEエナジー計数の校正実験の結果をもとにこの供試体の有限要素法・解析結果Gcを求めると次のようになる。

$$G_c = 0.0076 \text{ kg/mm} \quad (1)$$

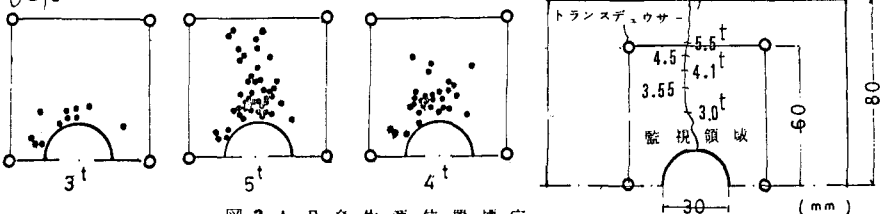


図3 A・E発生源位置検定

3) 有限要素法・アイソプレックス・トリックモデルによる数値解析

亀裂進展の数値解析に用いた反復及び方法について説明する。

- (i) 破壊基準として、Griffithのエネルギー・バランスの考え方に基づいて、完全弾性体の理論を用いるものとする。ここで、限界エネルギー解放率 G_c は、式(1)の実験値から得た値を用い、亀裂の進展条件はエネルギー解放率 G が限界エネルギー解放率 G_c 以上になったとする。 $G \geq G_c$ (2)
- (ii) 亀裂は、亀裂先端近傍における応力場の最大主応力の直交する方向に進展するものとする。
- (iii) 有限要素モデルの精度を比較的良好な四角網境界の近似に有効なアイソプレックス・要素(2次要素)を用い、数値積分は Gauss の3点公式を採用している。使用したアイソプレックス・モデルと要素分割を図4に示す。

図5は、右亀裂進展長進展長0.5, 1.5, 3.0mmにおける亀裂先端近傍の主応力方向と求めたものであり、これは亀裂の進展方向を決定した結果、亀裂は、円孔上端に発生し鉛直線上に直進して行く。

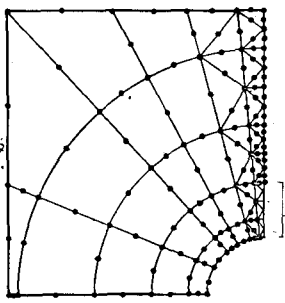


図4 供試体の分割様式

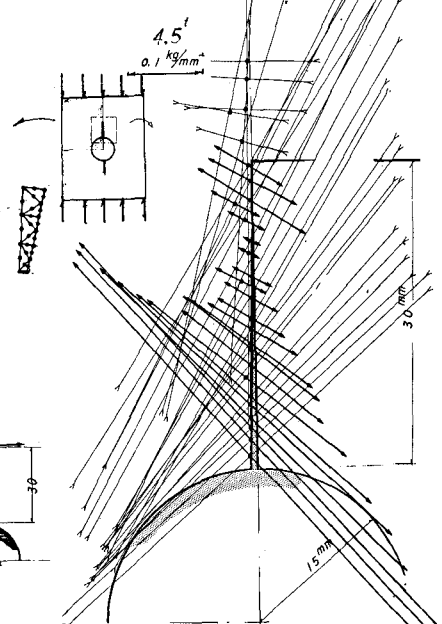


図6 応力分布

図6は、4.5kg/mm²における亀裂周囲の応力分布を詳しく示したものであり、亀裂先端付近にのみ、亀裂面の形成の仕方ともその周辺に大きく引張応力の集中が見られる。

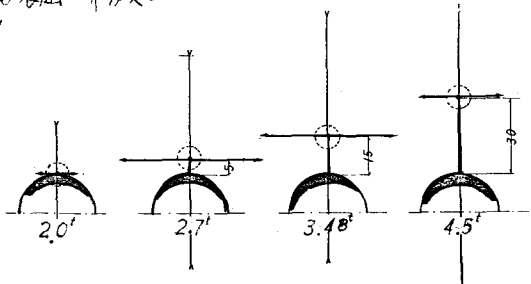


図5 亀裂先端近傍の最大主応力

この結果は、AE発生源位置測定の結果と良く一致していると思われる。

図7は、亀裂進展長と荷重との関係を示したもので、実験結果と数値解析とを比較した。実験結果は、供試体に与られた荷重が解析結果は、実験値を外層におき、亀裂発生時荷重及び供試体最終荷重は、ほぼ一致したといえる。

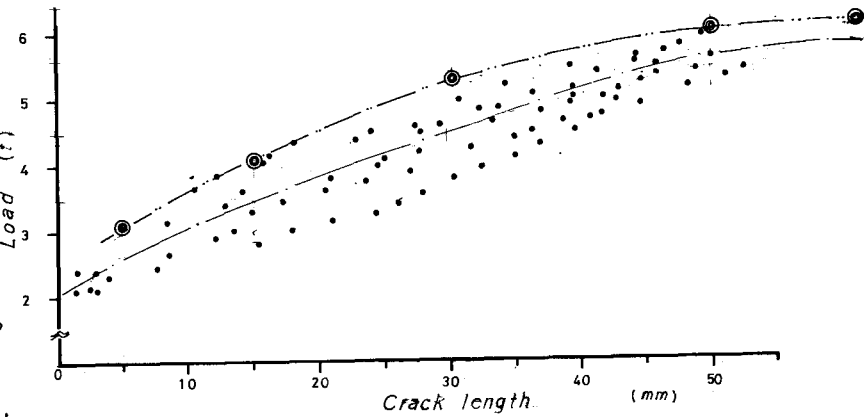


図7 亀裂進展長と荷重との対応

4) あとがき

AEによる限界エネルギー解放率 G_c を求め、有限要素法・アイソプレックス・トリックモデルによる亀裂進展の数値解析を行った。その結果、経過をたどると、荷重と亀裂進展長との対応は、おおよそ一致を見た。

参考文献

1) 岡村弘之, 弾性破壊力学入門, 培風館, 1976
 2) C.O. Zienkiewicz, The finite element method, Mc Graw Hill, 1977